



Laboratorium Badań Środowiskowych
ul. Józefa Piusa Dziekońskiego 3
00-728 Warszawa
e-mail: Laboratorium@networks.pl



AB 419

S P R A W O Z D A N I E 10076/2023/OS
Z POMIARÓW PÓL ELEKTROMAGNETYCZNYCH
WYKONANYCH DLA POTRZEB OCHRONY ŚRODOWISKA

Badany obiekt: Instalacja radiokomunikacyjna T-Mobile Polska S.A.
Numer i nazwa: 24109 (96055N!) WBI_MICHALOWO_JALOWKA
Adres: JAŁÓWKA, KOŚCIELNA DZ.108/7, Powiat białostocki, WOJ. PODLASKIE

Data wykonania pomiarów: 2023-10-11

Sprawozdanie z badań bez pisemnej zgody laboratorium nie może być powielane inaczej niż w całości.
Wynik przedstawione w niniejszym sprawozdaniu odnoszą się wyłącznie do badanego obiektu i do warunków i konfiguracji urządzeń w dniu wykonywania pomiarów.

1. Właściciel badanego obiektu:

T-Mobile Polska S.A., ul. Marynarska 12, 02-674 Warszawa

2. Zleceniodawca:

T-Mobile Polska S.A., ul. Marynarska 12, 02-674 Warszawa

3. Przedstawiciel zleceniodawcy:

NetWorkS! Sp.z o.o.

4. Zakres zlecenia:

Wykonanie badania i opracowanie sprawozdania z pomiarów natężenia pola elektrycznego i pola magnetycznego dla instalacji radiokomunikacyjnej T-Mobile Polska S.A. zlokalizowanej w miejscowości JAŁÓWKA, KOŚCIELNA DZ.108/7.

5. Cel zlecenia:

Wykonanie pomiarów pól elektromagnetycznych w otoczeniu instalacji radiokomunikacyjnej 24109 (96055N!) WBI_MICHALOWO_JALOWKA w odniesieniu do wymagań określonych w *Rozporządzeniu Ministra Klimatu z dnia 17 lutego 2020 r. w sprawie sposobów sprawdzania dotrzymania dopuszczalnych poziomów pól elektromagnetycznych w środowisku (Dz.U. 2022 poz. 2630)*.

6. Pomiary zostały wykonane przez:

Radomski Oskar
Duszczyk Michał

7. Informacje o źródłach pól elektromagnetycznych

7.1. Sposób identyfikacji badanych źródeł pól elektromagnetycznych

Identyfikacji źródeł i parametrów technicznych dokonano na podstawie analizy dokumentacji dotyczącej zlecenia oraz obserwacji miejsca wykonywania badań.

7.2. Opis miejsca zainstalowania anten i urządzeń technicznych. Opis obiektu badań i jego otoczenia

Instalacja radiokomunikacyjna zlokalizowana jest na terenie ogrodzonym. Anteny zawieszono na wieży kratowej. Urządzenia sterujące oraz zasilające zainstalowano w kontenerze u podstawy wieży. Wokół instalacji znajdują się tereny rolnicze.

Instalacja radiokomunikacyjna jest obiektem bezobsługowym. Okresowe stanowiska pracy związane są z prowadzonymi w zależności od potrzeb konserwacjami, przeglądami, strojeniem i naprawami.

7.3. Parametry techniczne źródła pola elektromagnetycznego

Dane przedstawiające maksymalne parametry pracy instalacji przekazane przez zleceniodawcę:

Parametry systemu nadawczo-odbiorczego:

| Charakterystyka promieniowania | | kierunkowa | | | | | |
|---------------------------------|--|----------------------|--------------|------------|---------------------|--|--|
| Rzeczywisty czas pracy [h/dobę] | | 24 | | | | | |
| Warunki pracy | | znamionowe | | | | | |
| Rodzaj wytwarzanego pola | | stacjonarne | | | | | |
| Lp. | Częstotliwość lub zakresy częstotliwości pracy [MHz] | Typ/producent anteny | liczba anten | Azymut [°] | kąt pochylenia* [°] | Wysokość środka elektrycznego anteny [m n.p.t] | Równoważna moc promieniowana izotropowo (EIRP) [W] |
| 1 | 800/2600 | ATR4518R13v06 Huawei | 1 | 90 | 7/5 | 45.3 | 9990 |
| 2 | 900/1800/2100 | ATR4518R13v06 Huawei | 1 | 90 | 2/5.5/5.5 | 49.6 | 18020 |
| 3 | 800/2600 | ATR4518R6v06 Huawei | 1 | 190 | 2/1.5 | 45.3 | 9952 |
| 4 | 900/1800/2100 | ATR4518R6v06 Huawei | 1 | 190 | 0/2/2 | 49.6 | 18727 |
| 5 | 800/2600 | ATR4518R6v06 Huawei | 1 | 270 | 2/1.5 | 45.3 | 9952 |
| 6 | 900/1800/2100 | ATR4518R6v06 Huawei | 1 | 270 | 0/2/2 | 49.6 | 18727 |
| 7 | 800/2600 | ATR4518R6v06 Huawei | 1 | 350 | 2/1.5 | 45.3 | 9952 |
| 8 | 900/1800/2100 | ATR4518R6v06 Huawei | 1 | 350 | 2/2/2 | 49.6 | 18727 |

* wskazane wartości kąta pochylenia anten, zgodnie z informacją uzyskaną od zleceniodawcy, są wartościami stałymi

Parametry radiolinii:

| Charakterystyka promieniowania | | kierunkowa | | | | | |
|---------------------------------|--|---------------------------|--|-----------------------------------|---------------------|------------|-----------------------------------|
| Rzeczywisty czas pracy [h/dobę] | | 24 | | | | | |
| Warunki pracy | | znamionowe | | | | | |
| Rodzaj wytwarzanego pola | | stacjonarne | | | | | |
| Lp. | Linia radiowa | | | Antena | | | |
| | Typ/ Producent | Częstotliwość pracy [GHz] | Równoważna moc promieniowana izotropowo (EIRP) [W] | Typ/ producent | Średnica anteny [m] | Azymut [°] | Wysokość zainstalowania n.p.t [m] |
| 1. | NP ERICSSON RAU2X ACD 23GHz 2x28MHz XPIC Ericsson | 23 | 23498 | ANT2_1.2 23 HP/HPX Ericsson | 1.2 | 354 | 52 |

7.4 Inne źródła pól elektromagnetycznych

Na podstawie informacji otrzymanych od użytkownika oraz obserwacji otoczenia miejsca wykonywania pomiarów nie stwierdzono występowania innych źródeł pola-EM

8. Opis pomiarów

8.1. Metoda badań

Zgodna z rozporządzeniem Ministra Klimatu z dnia 17 lutego 2020 r. w sprawie sposobów sprawdzania dotrzymania dopuszczalnych poziomów pól elektromagnetycznych w środowisku (Dz.U. 2022 poz. 2630), określona w pkt 25 ppkt 1 załącznika do niniejszego rozporządzenia.

Sprawozdanie z badań bez pisemnej zgody laboratorium nie może być powielane inaczej niż w całości.
Wynik przedstawione w niniejszym sprawozdaniu odnoszą się wyłącznie do badanego obiektu i do warunków i konfiguracji urządzeń w dniu wykonywania pomiarów.

8.2. Termin pomiarów i warunki środowiskowe

Podczas wykonywania pomiarów pól elektromagnetycznych nie występowały opady atmosferyczne. Wyniki pomiaru parametrów pogodowych przedstawia poniższa tabela:

| Data [rrrr-mm-dd] | Godzina [hh:mm-hh:mm] | Warunki środowiskowe | | | |
|----------------------|--------------------------|----------------------|--------------|-------------------------|--------------|
| | | Temperatura [°C] | | Wilgotność względna [%] | |
| 2023-10-11 | 11:15-12:25 | Przed pomiarem | Po pomiarach | Przed pomiarem | Po pomiarach |
| | | 12.4 | 13.2 | 66.2 | 65.8 |

Przedstawione wyżej warunki środowiskowe, występujące podczas wykonywania pomiarów pól elektromagnetycznych, są zgodne ze specyfikacją techniczną użytego zestawu pomiarowego.

8.3. Warunki pracy urządzeń nadawczych

Podczas pomiarów w przypadku uzyskania wyniku pomiaru szerokopasmowego wykonanego zastosowaną metodą, dla zakresów częstotliwości od 10 MHz do 300 GHz, powiększonego o rozszerzoną niepewność pomiaru U dla współczynnika rozszerzenia $k = 2$ przekraczającego 70% najniższej dopuszczalnej wartości składowej elektrycznej lub magnetycznej pola dla objętych pomiarami zakresów częstotliwości, uwzględnia się poprawki pomiarowe przekazane przez zleceniodawcę, umożliwiające uwzględnienie maksymalnych parametrów pracy instalacji zgodnie z pkt 7 załącznika do Rozporządzeniem Ministra Klimatu z dnia 17 lutego 2020 r. w sprawie sposobów sprawdzania dotrzymania dopuszczalnych poziomów pól elektromagnetycznych w środowisku (Dz. U. 2022, poz. 2630) zaznaczając, że wymagane jest wykonanie pomiaru z wykorzystaniem miernika selektywnego. W przypadku uzyskania wyniku pomiaru szerokopasmowego wykonanego zastosowaną metodą, dla zakresów częstotliwości od 10 MHz do 300 GHz, powiększonego o rozszerzoną niepewność pomiaru U dla współczynnika rozszerzenia $k = 2$ nieprzekraczającego 70% najniższej dopuszczalnej wartości składowej elektrycznej lub magnetycznej pola dla objętych pomiarami zakresów częstotliwości, nie uwzględnia się poprawek pomiarowych.

8.4. Wyposażenie pomiarowe

Zestaw pomiarowy służący do pomiaru natężenia składowej elektrycznej pola elektromagnetycznego złożony z szerokopasmowego miernika i sondy pomiarowej:

| Oznaczenie miernika | Producent | Model | Numer fabryczny | Oznaczenie sondy | Producent | Model | Numer fabryczny |
|---------------------|----------------------------|--|-----------------|------------------|----------------------------|------------------------------|-----------------|
| M-20 | Narda Safety Test Solution | Miernik pól elektromagnetycznych NBM-550 | H-0347 | S-21 | Narda Safety Test Solution | Sonda pomiarowa Narda EF6092 | C-0114 |

Mierniki natężenia pola elektromagnetycznego podlegają okresowemu sprawdzeniu zgodnie z procedurą wewnętrzną P-03 i PB-01. Świadectwo wzorcowania zestawu pomiarowego z dnia 31 marca 2023 o numerze LWiMP/W/136/23 wydane przez Politechnika Wrocławska.

Data ważności świadectwa wzorcowania: 31 marca 2025 (zgodnie z procedurą wewnętrzną P-03).

Termohigrometr:

| | | | | | |
|-------------|-------|------------|--------------------|--------|-----------------------|
| Oznaczenie: | TH-24 | Producent: | AZ INSTRUMENT CORP | Model: | Termohigrometr AZ8706 |
|-------------|-------|------------|--------------------|--------|-----------------------|

Data ważności świadectwa wzorcowania: 12 lipca 2025 (zgodnie z procedurą wewnętrzną P-03).

Dalmierz:

| Oznaczenie | Producent | Typ | Numer seryjny | Nr świadectwa wzorcowania | Data świadectwa wzorcowania |
|------------|-----------|---------------------------|---------------|---------------------------|-----------------------------|
| D-03 | Leica | Dalmierz Leica Disto X310 | 843810401 | 1146.3-M11-4180-396/15 | 8 kwietnia 2015 |

Data ważności świadectwa wzorcowania: 8 kwietnia 2025 (zgodnie z procedurą wewnętrzną P-03).

Odbiornik GNSS:

| Oznaczenie | Producent | Model | Numer fabryczny |
|------------|-----------|----------|-----------------|
| G-04 | Stonex | S7-G GIS | S7G4083040010 |

Odbiorniki podlegają okresowemu sprawdzeniu zgodnie z procedurą wewnętrzną P-03.

Sprawozdanie z badań bez pisemnej zgody laboratorium nie może być powielane inaczej niż w całości.
Wynik przedstawione w niniejszym sprawozdaniu odnoszą się wyłącznie do badanego obiektu i do warunków i konfiguracji urządzeń w dniu wykonywania pomiarów.

9. Wyniki pomiarów

Pole elektryczne

| Nr pionu | Opis umiejscowienia pionu (punktu) pomiarowego | Wysokość pomiaru [m] | Zmierzona wartość natężenia pola elektrycznego E [V/m] ^{1,5} | Wartość natężenia pola elektrycznego powiększona o niepewność pomiaru ⁴ E [V/m] | Wskaźnikowa wartość poziomu emisji pól elektromagnetycznych WM _E ³ | Współrzędne geograficzne pionu (punktu) pomiarowego ² |
|----------|--|----------------------|---|--|--|--|
| 1 | GKP w odległości 15m od anteny sektorowej az. 90° | 0.3-2.0 | <1.0* | 1.5 | 0.05 | 53°0'12.6" 23°54'0.7" |
| 2 | GKP w odległości 40m od anteny sektorowej az. 90° | 0.3-2.0 | <1.0* | 1.5 | 0.05 | 53°0'12.6" 23°54'1.8" |
| 3 | GKP w odległości 65m od anteny sektorowej az. 90° | 0.3-2.0 | <1.0* | 1.5 | 0.05 | 53°0'12.6" 23°54'3.2" |
| 4 | GKP w odległości 90m od anteny sektorowej az. 90° | 0.3-2.0 | <1.0* | 1.5 | 0.05 | 53°0'12.6" 23°54'4.7" |
| 5 | GKP w odległości 115m od anteny sektorowej az. 90° | 0.3-2.0 | <1.0* | 1.5 | 0.05 | 53°0'12.6" 23°54'6.1" |
| 6 | GKP w odległości 15m od anteny sektorowej az. 190° | 0.3-2.0 | <1.0* | 1.5 | 0.05 | 53°0'11.9" 23°53'59.3" |
| 7 | GKP w odległości 40m od anteny sektorowej az. 190° | 0.3-2.0 | <1.0* | 1.5 | 0.05 | 53°0'11.2" 23°53'58.9" |
| 8 | GKP w odległości 65m od anteny sektorowej az. 190° | 0.3-2.0 | <1.0* | 1.5 | 0.05 | 53°0'10.4" 23°53'58.9" |
| 9 | GKP w odległości 90m od anteny sektorowej az. 190° | 0.3-2.0 | <1.0* | 1.5 | 0.05 | 53°0'9.7" 23°53'58.6" |
| 10 | GKP w odległości 115m od anteny sektorowej az. 190° | 0.3-2.0 | <1.0* | 1.5 | 0.05 | 53°0'9.0" 23°53'58.2" |
| 11 | GKP w odległości 15m od anteny sektorowej az. 270° | 0.3-2.0 | <1.0* | 1.5 | 0.05 | 53°0'13.0" 23°53'58.6" |
| 12 | GKP w odległości 40m od anteny sektorowej az. 270° | 0.3-2.0 | <1.0* | 1.5 | 0.05 | 53°0'13.0" 23°53'57.1" |
| 13 | GKP w odległości 65m od anteny sektorowej az. 270° | 0.3-2.0 | <1.0* | 1.5 | 0.05 | 53°0'13.0" 23°53'56.0" |
| 14 | GKP w odległości 90m od anteny sektorowej az. 270° | 0.3-2.0 | <1.0* | 1.5 | 0.05 | 53°0'13.0" 23°53'54.6" |
| 15 | GKP w odległości 115m od anteny sektorowej az. 270° | 0.3-2.0 | <1.0* | 1.5 | 0.05 | 53°0'13.0" 23°53'53.2" |
| 16 | GKP w odległości 15m od anteny sektorowej az. 350° | 0.3-2.0 | <1.0* | 1.5 | 0.05 | 53°0'13.3" 23°53'59.3" |
| 17 | GKP w odległości 40m od anteny sektorowej az. 350° | 0.3-2.0 | <1.0* | 1.5 | 0.05 | 53°0'14.0" 23°53'58.9" |
| 18 | GKP w odległości 65m od anteny sektorowej az. 350° | 0.3-2.0 | <1.0* | 1.5 | 0.05 | 53°0'14.8" 23°53'58.9" |
| 19 | GKP w odległości 90m od anteny sektorowej az. 350° | 0.3-2.0 | <1.0* | 1.5 | 0.05 | 53°0'15.8" 23°53'58.6" |
| 20 | GKP w odległości 115m od anteny sektorowej az. 350° | 0.3-2.0 | <1.0* | 1.5 | 0.05 | 53°0'16.6" 23°53'58.2" |
| 21 | GKP w odległości 15m od anteny radioliniowej az. 354° | 0.3-2.0 | <1.0* | 1.5 | 0.05 | 53°0'13.3" 23°53'59.3" |
| 22 | GKP w odległości 40m od anteny radioliniowej az. 354° | 0.3-2.0 | <1.0* | 1.5 | 0.05 | 53°0'14.4" 23°53'59.3" |
| 23 | GKP w odległości 65m od anteny radioliniowej az. 354° | 0.3-2.0 | <1.0* | 1.5 | 0.05 | 53°0'15.1" 23°53'58.9" |
| 24 | PKP na az. 45° w odległości 48m od anteny radioliniowej az. 354° | 0.3-2.0 | <1.0* | 1.5 | 0.05 | 53°0'14.0" 23°54'1.1" |
| 25 | PKP na az. 146° w odległości 34m od anteny sektorowej az. 90° | 0.3-2.0 | <1.0* | 1.5 | 0.05 | 53°0'11.9" 23°54'0.7" |
| 26 | PKP na az. 217° w odległości 54m od anteny sektorowej az. 190° | 0.3-2.0 | <1.0* | 1.5 | 0.05 | 53°0'11.2" 23°53'57.8" |
| 27 | PKP na az. 310° w odległości 45m od anteny sektorowej az. 270° | 0.3-2.0 | <1.0* | 1.5 | 0.05 | 53°0'13.7" 23°53'57.5" |
| – | GKP w odległości 274m od anteny sektorowej az. 90° | 0.3-2.0 | <1.0* | 1.5 | 0.05 | 53°0'12.6" 23°54'14.4" |
| – | GKP w odległości 409m od anteny sektorowej az. 90° | 0.3-2.0 | <1.0* | 1.5 | 0.05 | 53°0'12.6" 23°54'21.6" |
| – | GKP w odległości 439m od anteny sektorowej az. 190° | 0.3-2.0 | <1.0* | 1.5 | 0.05 | 52°59'58.6" 23°53'55.3" |
| – | GKP w odległości 575m od anteny sektorowej az. 190° | 0.3-2.0 | <1.0* | 1.5 | 0.05 | 52°59'54.2" 23°53'53.9" |
| – | GKP w odległości 442m od anteny sektorowej az. 270° | 0.3-2.0 | <1.0* | 1.5 | 0.05 | 53°0'13.0" 23°53'35.5" |

Sprawozdanie z badań bez pisemnej zgody laboratorium nie może być powielane inaczej niż w całości.
Wynik przedstawione w niniejszym sprawozdaniu odnoszą się wyłącznie do badanego obiektu i do warunków i konfiguracji urządzeń w dniu wykonywania pomiarów.

| | | | | | | |
|---|---|---------|-------|-----|------|---------------------------|
| – | GKP w odległości 575m od anteny sektorowej az. 270° | 0.3-2.0 | <1.0* | 1.5 | 0.05 | 53°0'13.0" 23°53'28.7" |
| – | GKP w odległości 440m od anteny sektorowej az. 350° | 0.3-2.0 | <1.0* | 1.5 | 0.05 | 53°0'27.0" 23°53'55.3" |

Pole magnetyczne (wyznaczone na podstawie pomiaru wartości natężenia pola elektrycznego)

| Nr pionu | Opis umiejscowienia pionu (punktu pomiarowego) | Wysokość pomiaru [m] | Wartość natężenia pola magnetycznego H [A/m] ¹ | Wartość natężenia pola magnetycznego powiększona o niepewność pomiaru ⁴ H [A/m] | Wskaźnikowa wartość poziomu emisji pól elektromagnetycznych WM _H ³ | Współrzędne geograficzne pionu (punktu pomiarowego) ² |
|----------|--|----------------------|---|--|--|--|
| 1 | GKP w odległości 15m od anteny sektorowej az. 90° | 0.3-2.0 | <0.003* | 0.004 | 0.05 | 53°0'12.6" 23°54'0.7" |
| 2 | GKP w odległości 40m od anteny sektorowej az. 90° | 0.3-2.0 | <0.003* | 0.004 | 0.05 | 53°0'12.6" 23°54'1.8" |
| 3 | GKP w odległości 65m od anteny sektorowej az. 90° | 0.3-2.0 | <0.003* | 0.004 | 0.05 | 53°0'12.6" 23°54'3.2" |
| 4 | GKP w odległości 90m od anteny sektorowej az. 90° | 0.3-2.0 | <0.003* | 0.004 | 0.05 | 53°0'12.6" 23°54'4.7" |
| 5 | GKP w odległości 115m od anteny sektorowej az. 90° | 0.3-2.0 | <0.003* | 0.004 | 0.05 | 53°0'12.6" 23°54'6.1" |
| 6 | GKP w odległości 15m od anteny sektorowej az. 190° | 0.3-2.0 | <0.003* | 0.004 | 0.05 | 53°0'11.9" 23°53'59.3" |
| 7 | GKP w odległości 40m od anteny sektorowej az. 190° | 0.3-2.0 | <0.003* | 0.004 | 0.05 | 53°0'11.2" 23°53'58.9" |
| 8 | GKP w odległości 65m od anteny sektorowej az. 190° | 0.3-2.0 | <0.003* | 0.004 | 0.05 | 53°0'10.4" 23°53'58.9" |
| 9 | GKP w odległości 90m od anteny sektorowej az. 190° | 0.3-2.0 | <0.003* | 0.004 | 0.05 | 53°0'9.7" 23°53'58.6" |
| 10 | GKP w odległości 115m od anteny sektorowej az. 190° | 0.3-2.0 | <0.003* | 0.004 | 0.05 | 53°0'9.0" 23°53'58.2" |
| 11 | GKP w odległości 15m od anteny sektorowej az. 270° | 0.3-2.0 | <0.003* | 0.004 | 0.05 | 53°0'13.0" 23°53'58.6" |
| 12 | GKP w odległości 40m od anteny sektorowej az. 270° | 0.3-2.0 | <0.003* | 0.004 | 0.05 | 53°0'13.0" 23°53'57.1" |
| 13 | GKP w odległości 65m od anteny sektorowej az. 270° | 0.3-2.0 | <0.003* | 0.004 | 0.05 | 53°0'13.0" 23°53'56.0" |
| 14 | GKP w odległości 90m od anteny sektorowej az. 270° | 0.3-2.0 | <0.003* | 0.004 | 0.05 | 53°0'13.0" 23°53'54.6" |
| 15 | GKP w odległości 115m od anteny sektorowej az. 270° | 0.3-2.0 | <0.003* | 0.004 | 0.05 | 53°0'13.0" 23°53'53.2" |
| 16 | GKP w odległości 15m od anteny sektorowej az. 350° | 0.3-2.0 | <0.003* | 0.004 | 0.05 | 53°0'13.3" 23°53'59.3" |
| 17 | GKP w odległości 40m od anteny sektorowej az. 350° | 0.3-2.0 | <0.003* | 0.004 | 0.05 | 53°0'14.0" 23°53'58.9" |
| 18 | GKP w odległości 65m od anteny sektorowej az. 350° | 0.3-2.0 | <0.003* | 0.004 | 0.05 | 53°0'14.8" 23°53'58.9" |
| 19 | GKP w odległości 90m od anteny sektorowej az. 350° | 0.3-2.0 | <0.003* | 0.004 | 0.05 | 53°0'15.8" 23°53'58.6" |
| 20 | GKP w odległości 115m od anteny sektorowej az. 350° | 0.3-2.0 | <0.003* | 0.004 | 0.05 | 53°0'16.6" 23°53'58.2" |
| 21 | GKP w odległości 15m od anteny radioliniowej az. 354° | 0.3-2.0 | <0.003* | 0.004 | 0.05 | 53°0'13.3" 23°53'59.3" |
| 22 | GKP w odległości 40m od anteny radioliniowej az. 354° | 0.3-2.0 | <0.003* | 0.004 | 0.05 | 53°0'14.4" 23°53'59.3" |
| 23 | GKP w odległości 65m od anteny radioliniowej az. 354° | 0.3-2.0 | <0.003* | 0.004 | 0.05 | 53°0'15.1" 23°53'58.9" |
| 24 | PKP na az. 45° w odległości 48m od anteny radioliniowej az. 354° | 0.3-2.0 | <0.003* | 0.004 | 0.05 | 53°0'14.0" 23°54'1.1" |
| 25 | PKP na az. 146° w odległości 34m od anteny sektorowej az. 90° | 0.3-2.0 | <0.003* | 0.004 | 0.05 | 53°0'11.9" 23°54'0.7" |
| 26 | PKP na az. 217° w odległości 54m od anteny sektorowej az. 190° | 0.3-2.0 | <0.003* | 0.004 | 0.05 | 53°0'11.2" 23°53'57.8" |
| 27 | PKP na az. 310° w odległości 45m od anteny sektorowej az. 270° | 0.3-2.0 | <0.003* | 0.004 | 0.05 | 53°0'13.7" 23°53'57.5" |
| – | GKP w odległości 274m od anteny sektorowej az. 90° | 0.3-2.0 | <0.003* | 0.004 | 0.05 | 53°0'12.6" 23°54'14.4" |
| – | GKP w odległości 409m od anteny sektorowej az. 90° | 0.3-2.0 | <0.003* | 0.004 | 0.05 | 53°0'12.6" 23°54'21.6" |
| – | GKP w odległości 439m od anteny sektorowej az. 190° | 0.3-2.0 | <0.003* | 0.004 | 0.05 | 52°59'58.6" 23°53'55.3" |

Sprawozdanie z badań bez pisemnej zgody laboratorium nie może być powielane inaczej niż w całości.
Wynik przedstawione w niniejszym sprawozdaniu odnoszą się wyłącznie do badanego obiektu i do warunków i konfiguracji urządzeń w dniu wykonywania pomiarów.

| | | | | | | |
|---|---|---------|---------|-------|------|----------------------------|
| – | GKP w odległości 575m od anteny sektorowej az. 190° | 0.3-2.0 | <0.003* | 0.004 | 0.05 | 52°59'54.2" 23°53'53.9" |
| – | GKP w odległości 442m od anteny sektorowej az. 270° | 0.3-2.0 | <0.003* | 0.004 | 0.05 | 53°0'13.0" 23°53'35.5" |
| – | GKP w odległości 575m od anteny sektorowej az. 270° | 0.3-2.0 | <0.003* | 0.004 | 0.05 | 53°0'13.0" 23°53'28.7" |
| – | GKP w odległości 440m od anteny sektorowej az. 350° | 0.3-2.0 | <0.003* | 0.004 | 0.05 | 53°0'27.0" 23°53'55.3" |

GKP – Główny Kierunek Pomiarowy

PKP – Pomocniczy Kierunek Pomiarowy

¹ wyniki oznaczone * są wynikami poniżej czułości zestawu pomiarowego i są wynikami spoza zakresu akredytacji. Do obliczenia wyniku skorygowanego przyjęto wartość skorelowaną z rzeczywistym wynikiem pomiaru - dolną granicę akredytowanego zakresu pomiarowego metody

² współrzędne geograficzne pozyskane metodą pomiaru bezpośredniego

³ do wyznaczenia wartości wskaźnikowej W_{ME} i W_{MH} przyjęto na podstawie uzgodnień z klientem oraz rozpoznania źródeł, jako wartości dopuszczalne pola elektrycznego i magnetycznego odpowiednio 28 V/m i 0,073 A/m.

⁴ do wyznaczenia niepewności dla wyników poniżej czułości zestawu pomiarowego, przyjęto niepewność dla minimalnej wartości z zakresu pomiarowego.

⁵ maksymalna wartość chwilowa

Niepewność oszacowano zgodnie z dokumentem P-03 „Procedura nadzoru nad wyposażeniem” w postaci niepewności rozszerzonej wynikającej z niepewności standardowej pomnożonej przez współczynnik rozszerzenia $k=2$.

Całkowita szacowana niepewność rozszerzona składowej E wynosi odpowiednio: 50% dla częstotliwości do 40 GHz

Umiejscowienie pionów (punktów) pomiarowych przedstawiono w załączniku nr 2 do niniejszego sprawozdania.

10. Omówienie wyników pomiarów

W związku z tym, że żadna z wartości zmierzonych, udokumentowanych w tabelach w pkt. 9, uzyskanych w skutek zastosowania pomiaru szerokopasmowego, powiększonego o rozszerzoną niepewność pomiaru U dla współczynnika rozszerzenia $k = 2$ nie przekroczyła 70% najniższej dopuszczalnej wartości składowej elektrycznej lub magnetycznej pola dla objętych pomiarami zakresów częstotliwości, nie uwzględnia się poprawek pomiarowych.

W wyniku zastosowania sposobu sprawdzenia dotrzymania dopuszczalnych poziomów pól elektromagnetycznych w środowisku, zgodnie pkt 25 ppkt 1 Rozporządzenia Ministra Klimatu z dnia 17 lutego 2020 r. (Dz. U. 2022, poz. 2630), w związku z tym, że żadna z wartości wskaźnikowych, udokumentowanych w tabelach w pkt. 9 nie przekracza wartości 1, stwierdza się, że w miejscach, w których wykonano pomiary w otoczeniu instalacji radiokomunikacyjnej 24109 (96055N!) WBI_MICHALOWO_JALOWKA, dopuszczalne poziomy pól elektromagnetycznych w środowisku należy uznać za dotrzymane.

11. Podstawa prawna

- 1) Ustawa z dnia 27 kwietnia 2001 r. Prawo ochrony środowiska (Dz.U. 2022 poz. 2556)
- 2) Rozporządzenie Ministra Zdrowia z dnia 17 grudnia 2019 r. w sprawie dopuszczalnych poziomów pól elektromagnetycznych w środowisku (Dz. U. 2019, poz. 2448)
- 3) Rozporządzenie Ministra Klimatu z dnia 17 lutego 2020 r. w sprawie sposobów sprawdzania dotrzymania dopuszczalnych poziomów pól elektromagnetycznych w środowisku (Dz. U. 2022, poz. 2630),
- 4) Akredytacja nr AB 419 wydana przez Polskie Centrum Akredytacji (wydanie 21, z dnia 11 kwietnia 2023 r.)

12. Spis załączników

- Załącznik 1. Lokalizacja obiektu badań
- Załącznik 2. Usytuowanie pionów (punktów) pomiarowych
- Załącznik 3. Dokumentacja fotograficzna obiektu badań

13. Data wydania i autoryzowania sprawozdania

Obliczenia i sprawozdanie wykonał :

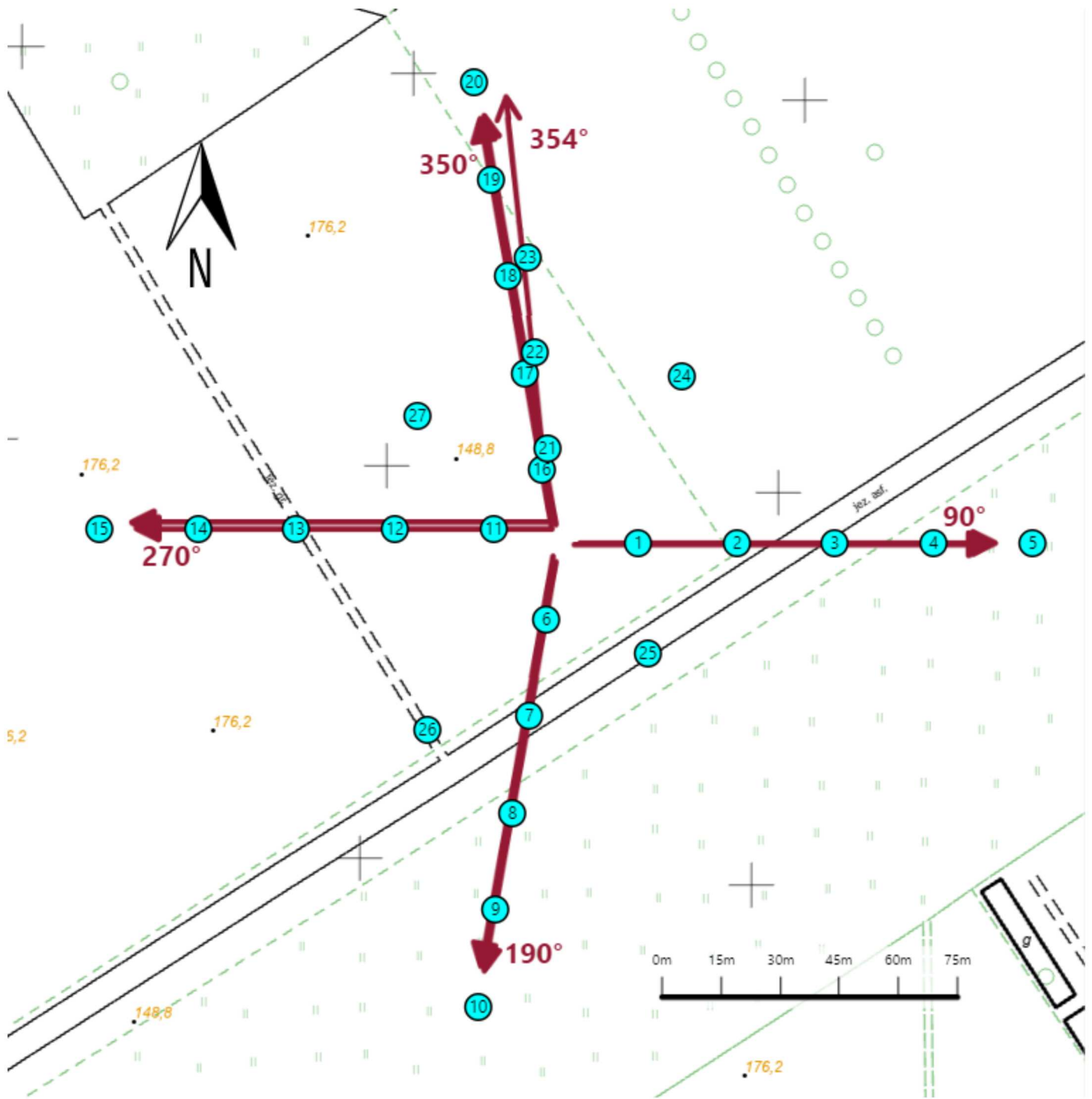
Sprawozdanie autoryzował:





Koniec sprawozdania

Sprawozdanie z badań bez pisemnej zgody laboratorium nie może być powielane inaczej niż w całości.
Wynik przedstawione w niniejszym sprawozdaniu odnoszą się wyłącznie do badanego obiektu i do warunków i konfiguracji urządzeń w dniu wykonywania pomiarów.



| | |
|----------------|---|
| Załącznik nr 1 | Instalacja radiokomunikacyjna T-Mobile Polska S.A. 24109 (96055N!) WBI_MICHALOWO_JALOWKA Lokalizacja instalacji |
|----------------|---|



| | |
|----------------|---|
| Załącznik nr 2 | <p style="text-align: center;">Instalacja radiokomunikacyjna T-Mobile Polska S.A. WBI_MICHALOWO_JALOWKA (96055N!) Usytuowanie pionów pomiarowych w otoczeniu instalacji radiokomunikacyjnej</p> |
| | <p>Legenda:</p> <div style="display: flex; justify-content: space-around; align-items: flex-start;"> <div style="text-align: center;">  Brak dostępu </div> <div style="text-align: center;">  Pion pomiarowy </div> <div style="text-align: center;">  Kierunek oddziaływania anten sektorowych </div> <div style="text-align: center;">  Kierunek oddziaływania anten radioliniowych </div> </div> |



Załącznik nr 3

Instalacja radiokomunikacyjna T-Mobile Polska S.A.
24109 (96055N!) WBI_MICHALOWO_JALOWKA

Dokumentacja fotograficzna